

京都大学工学部 大西有三

1. はじめに 亜裂の著しい岩盤、風化岩あるいは顕著な弱面を有する岩盤などは工事を行うさいにさまでまた問題をひきおこす。岩盤工事の設計に必要な定数は、変形係数と強度定数であると考えられており、特に残留強度は寸法効果の影響を受けたり安定レモネン数(Bernaix, 1974)として、Barton(1977)などはトンネルの設計などの基準的な値の一つとして大いに利用している。そこで、本報告では室内実験で残留強度を求めるとときの注意と残留強度の利用法について検討を行う。

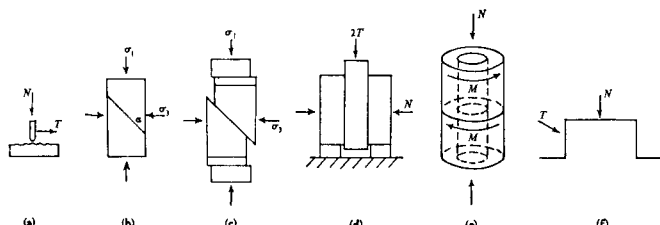


図-1. 岩石の強度試験の種類

2. 試験方法

岩石あるいは岩盤の強度を求める実験として利用されるものの例は図1のようである。それを他の手法についてJaeger(1971)が説明しているので省略するが、ここでは主として不連続面を含む試料の三軸圧縮せん断について述べる。三軸試験によるせん断強度の測定は最もよく行われている試験方法の一つであるが、通常の装置では岩石のせん断破壊後の挙動を正確に捉えることが困難である。

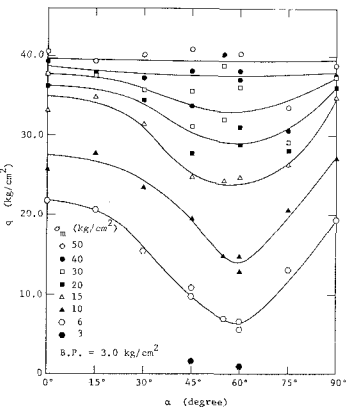


図-2. 不連続面を含む岩石の強度

その主な理由は、破壊後の試料の形状変化に装置が十分対応できない、すなはち端面摩擦、回転などの影響で破壊面上沿って正しくすべりが起こらなければならぬが、Rosengren^{et al.}提案した図1(c)による方法で、この問題に対処できることになるとされている。しかし、三軸試験では実験装置上の制約から、試料の変形をあまり大きくすることはできぬし、またせん断面上のせん断にともなうダイレクタンシーを正確に測定することはあつからいといふ欠点があり、これらの点では直接せん断試験に劣ることに注意すべきである。

3. 残留強度

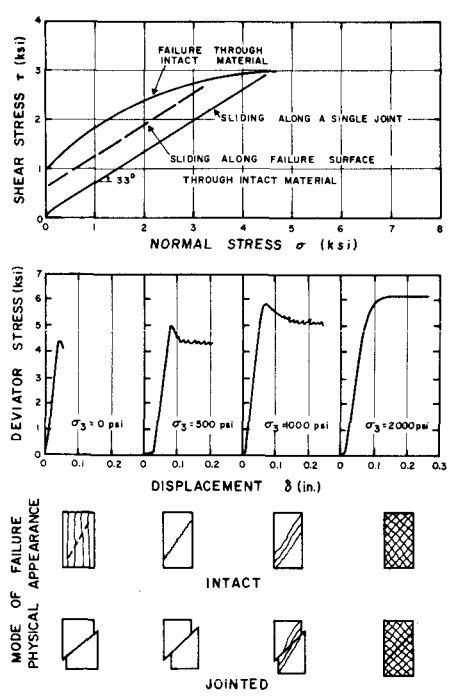


図-3. 不連続面のある岩とない岩の挙動

図-2は赤井ら(1979)が人工の不連続面を含む砂漿シルト岩の残留強度を示すものである。不連続面の角度による残留強度の値が変化し、不連続面のない試料(0°あるいは90°の角度の試料に相当する)の強度が極めて、60°近くの値で残留強度が極小値を示すことわかる。また、拘束圧が大きくなると不連続面の影響が小さくなり、つまには無く反対ともいふことも判読できる。同様の実験結果を別な形で表現したのが、Einstein^{et al.}(1973)による図-3である。この図から不連続面を含む岩石の挙動がよくわかる。

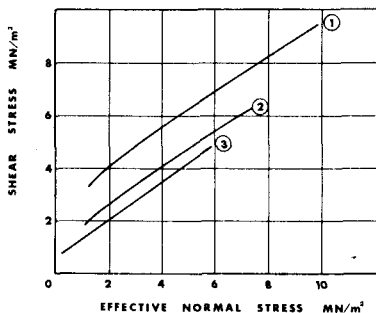


図-4. 石英閃緑岩のジョイントの原位置せん断試験結果

- ① 年均せん断面積 200 cm^2
- ② 1500 cm^2 , ③ 5000 cm^2 .

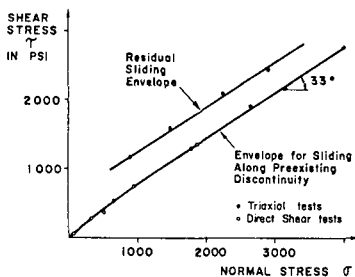


図-5. 直接せん断と三軸試験の結果

とえば10段階に分けることができると仮定すれば、図-6に示すとおり、岩盤の破壊度(不連続性あるいは割れ目の程度)に応じて一本ずつ包絡線を引くことができ、これらが全体としての包絡線群を構成する。岩盤本体から採取したすべてのコアについて調査を行ったのち、この岩盤の破壊度はこの目盛り1と2の間に表すことができると判断できれば、図-6の斜線部で岩盤強度を表現することができるわけである。

図-6の図表は三軸試験から上限、下限値が求められ、中間の値は2つ以上の弱面(不連続面)を含む岩石の試験結果を用いて推定できることで、実験室内で作成されるこどもさほど困難でないと考えられる。したがって、こうして図表を他の関係(たとえば拘束圧と強度など)の図表と組み合わせればさらに岩盤工事の設計の精度を向上させることができるものと思われる。

謝辞: 本報告は N.G. 工の Nick Barton 博士、ならびに Univ. of Calif. Berkeley の Goodman 教授の討論と助言のもとにできあがったので、二人に大いに感謝の意を表す。

参考文献

- 赤井・大西・李(1979): 第14回土質工学研究発表会講演集; Barton (1977): Proc. Symp. on Exploration for Rock Eng., Johannesburg; Bernaix (1974): Proc. 3rd Congress, ISRM, Denver; Einstein & Hirschfeld (1973): Journal of SMFE Div., ASCE, March; Jaeger (1971): Geotechnique, 21, Vol. No. 2; Patton (1968): Proc. 1st Congress, ISRM, Lisbon, ; Pratt, et.al.(1974): Proc. 3rd Congress, ISRM; Raphael & Goodman (1977): 計画地盤, 1.

図-2と図-3から残留強度の極小値を求めるには約60°の角度で人工の不連続面に沿って試料を滑動させばよりことが確信できる。E.G. リー 残留強度は極大値から極小値まであることこれが残留強度の定義に反するかどうか議論する必要がある。

通常の試料の残留強度の方が大きいのは、ジョイントの強度が岩の構成材料の真の摩擦角と平均的表面粗さ(Surface roughness)に強く影響されるといつ Patton の実験結果(1966)によても明らかである。Barton (1979) は直接せん断試験によりジョイントの残留強度(極小値)を求めるには、ピーク強度時の変位の約100倍程度の変位までせん断をしなければならないと述べていること、図-4に示すように、せん断面積が大きくなると強度が低下し、残留強度の極小値に近くなること(Pratt, et.al., 1974), 残留強度の極小値は三軸試験の結果と直接せん断試験の結果よく一致するといつ図-5の実験結果などを考慮すると、三軸試験を行うさいには人工不連続面を含む試料から残留強度の極小値を求めておくのが実用的には最善であると考えられる。

このような考え方を実際の岩盤に適用しようとすると Raphael & Goodman (1979) の示した図-6のような図表が役に立つ。一般的の岩盤の挙動は図-6のように上限強度包絡線と下限強度包絡線の間に位置する別のモール包絡線として表わす必要があることは明らかである。上限強度包絡線は不連続面の全くない岩石の強度から求められ、下限値は上記のジョイントせん断強度から決定される。この上限値と下限値の間をたとえば10段階に分けることができると仮定すれば、図-6に示すとおり、岩盤の破壊度(不連続性あるいは割れ目の程度)に応じて一本ずつ包絡線を引くことができ、これらが全体としての包絡線群を構成する。岩盤本体から採取したすべてのコアについて調査を行ったのち、この岩盤の破壊度はこの目盛り1と2の間に表すことができると判断できれば、図-6の斜線部で岩盤強度を表現することができるわけである。

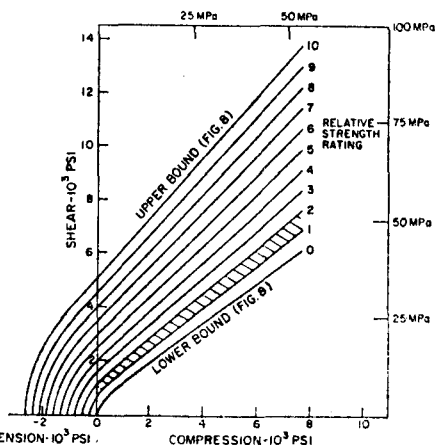


図-6. 岩盤強度包絡線